



БИООРГАНИЧЕСКАЯ ХИМИЯ

том 7 * № 2 * 1981

УДК 547.963.32.04

ОЛИГОНУКЛЕОТИДЫ И НУКЛЕОТИДОПЕПТИДЫ

XXXVI. О МЕХАНИЗМЕ ГИДРОЛИЗА УРИДИЛИЛ(5'-N)АМИНОКИСЛОТ.
ВНУТРИМОЛЕКУЛЯРНЫЙ КАТАЛИЗ С УЧАСТИЕМ α -КАРБОКСИЛЬНОЙ
ГРУППЫ АМИНОКИСЛОТ

Юодка Б. А., Саснаускене С. И., Казлаускайте С. А.,
Кирвялене В. А.

Вильнюсский государственный университет

Шабарова З. А.

Московский государственный университет

Гидролиз сложных эфиров уридилил(5'→N)аминокислот в кислой среде приводит к образованию уридин-5'-фосфата и сложных эфиров аминокислот. Среди продуктов гидролиза аналогов со свободной α -карбоксильной группой кроме нуклеотида и аминокислоты обнаружен нуклеозид и неорганический фосфат. Исследование термодинамики реакции расщепления, изотопного эффекта, проведение гидролиза в смеси этилового спирта и воды, а также в $H_2^{18}O$ позволило установить, что при гидролизе уридилил(5'→N)аминокислот в кислой среде имеет место внутримолекулярный нуклеофильный катализ с участием α -карбоксильной группы аминокислоты. Обнаружено, что на эффективность внутримолекулярного нуклеофильного катализа карбоксильной группы в уридилил(5'→N)аминокислотах влияют радикалы аминокислот.

В настоящее время выделен ряд нуклеопротеидов, в которых РНК или ДНК присоединены к белкам с помощью ковалентных связей. Нуклеотид-белковые ковалентные комплексы образуются также при функционировании ряда ферментов. Однако природа химической связи, с помощью которой белок присоединен к нуклеиновой кислоте или нуклеотиду, установлена лишь в некоторых случаях [1]. Для решения этой проблемы плодотворным подходом является изучение модельных соединений [2]. Синтез и химические свойства ряда нуклеотидопептидов [2–4], а также влияние свободной карбоксильной группы аминокислот на гидролитическую устойчивость нуклеотидил(P→N)аминокислот описаны нами ранее [5, 6]. В данной работе подробно исследован механизм расщепления фосфоамидного центра в уридилил(5'→N)аминокислотах.

Синтез сложных эфиров уридилил(5'→N)аминокислот (пептидов) осуществляли дициклогексилкарбодиимидным методом [7]. Этиловый эфир уридилил(5'→N)-DL-аланил-DL-лейцил-DL-аланил-DL-валина синтезировали спиванием уридилил(5'→N)-DL-аланил-DL-лейцина с этиловым эфиром DL-аланил-DL-валина [3]. Омылением щелочью получали аналоги со свободной карбоксильной группой. Таким методом синтезированы N-уридилил-5'-производные глицина (I), L-аланина (II), β -аланина (III), L-валина (IV), L-лейцина (V), L-фенилаланина (VI), L-тирофина (VII),

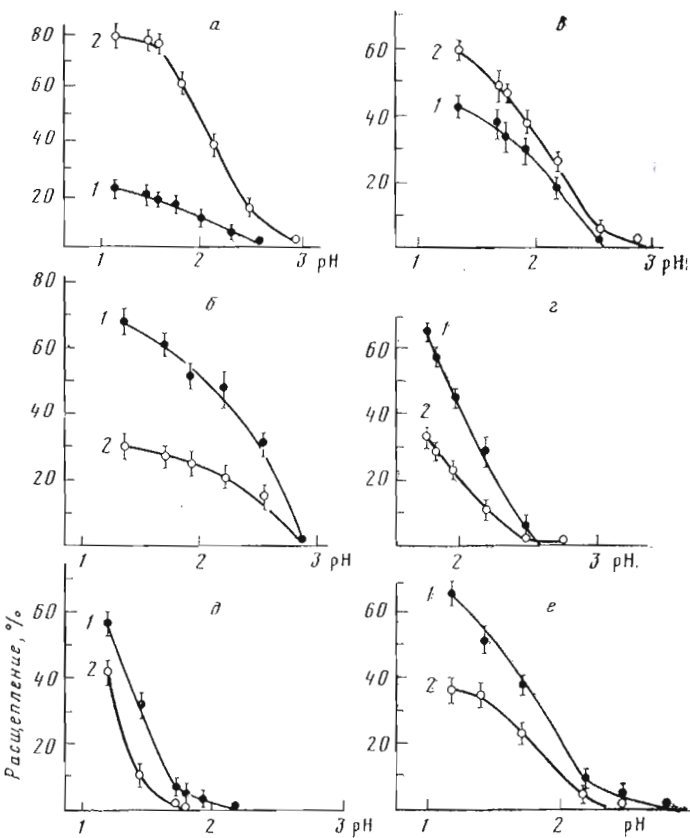
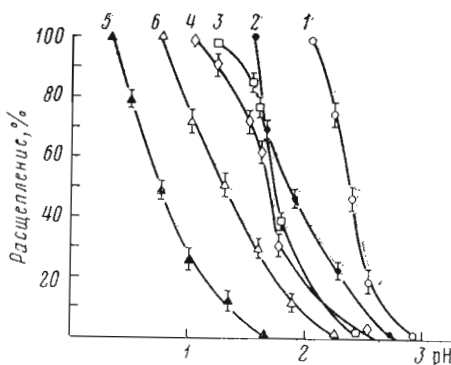


Рис. 1. Гидролитическая устойчивость в кислой среде (37°C , 1 ч): *a* — Urd-5'-P-Ala (II), *b* — Urd-5'-P-Val (IV), *c* — Urd-5'-P-Leu (V), *d* — Urd-5'-P-Phe (VI), *e* — Urd-5'-P-Tyr (VII), *f* — Urd-5'-P-His (VIII). Контроль по образованию Urd (I) и Urd-5'-P (2)

Рис. 2. Гидролитическая устойчивость в кислой среде (37°C , 1 ч): 1 — Urd-5'-P-Gly (I), 2 — Urd-5'-P- β Ala (III), 3 — Urd-5'-P-DL-Ala-DL-Leu (X), 4 — Urd-5'-P-DL-Ala-DL-Ala (IX), 5 — Urd-5'-P-DL-Pro (XII), 6 — Urd-5'-P-DL-Hyp (XIII). Контроль по образованию Urd-5'-P



L-гистидина (VIII); *D*₁-аланил-*D*₂-аланина (IX), *D*₁-аланил-*D*₂-лейцина (X), *D*₁-аланил-*D*₂-лейцил-*D*₃-аланил-*D*₄-валина (XI), *D*₁-пролина (XII) и *D*₁-оксипролина (XIII).

Ранее была исследована гидролитическая устойчивость сложных эфиров уридилил($5' \rightarrow N$) аминокислот (пептидов) и показано, что в кислой среде имеет место гидролиз фосфоамидной связи и образуется UMP и соответствующие сложные эфиры аминокислот (пептидов) [2—4]. Изучение гидролитической устойчивости соединений (I) — (XIII) в зависимости от pH показало, что они также гидролизуются в кислой среде (рис. 1, 2). Но в отличие от сложноэфирных аналогов механизм гидролиза соединений со свободной карбоксильной группой не одинаков. Фосфоамиды (I), (III),

Таблица 1

Периоды полураспада уридилил(5'→N)аминокислотных производных Urd-5'-P-Aac

-Aac	pH	$\tau/2$, мин	-Aac	pH	$\tau/2$, мин
-Gly-OMe	2,19	20	-DL-Ala-DL-Ala-OEt	1,76	33
-Gly (I)	2,19	27	-DL-Ala-DL-Ala (IX)	1,76	81
- β Ala-OEt	2,19	21	-DL-Ala-DL-Leu-OEt	1,76	41
- β Ala (II)	2,19	74	-DL-Ala-DL-Leu (X)	1,76	76
-DL-Pro-OEt	1,0	133	-DL-Ala-DL-Leu-DL-Ala	1,76	92
-DL-Pro (XII)	1,0	77	-DL-Val-OEt		
-Hyp-OEt	1,0	78	-DL-Ala-DL-Leu-DL-Ala	1,76	Не расцеп- ляется
-DL-Hyp (XIII)	1,0	33	-DL-Val (XI)		

Таблица 2

Периоды полураспада (pH 1,76; 37° С) и термодинамические данные (pH 2,19) образования UMP при кислотном гидролизе уридинил(5'→N)аминокислот (Urd-5'-P-Aac)

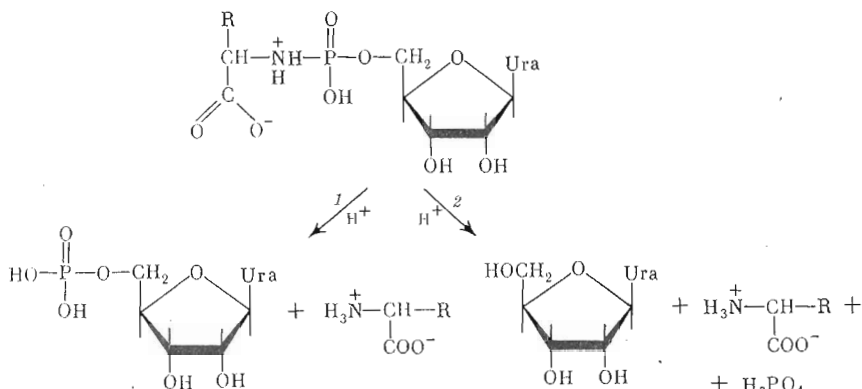
-Aac	$\tau/2$, мин	E_a		ΔH^\ddagger	ΔS^\ddagger , э. е.	-Aac	$\tau/2$, мин	E_a		ΔH^\ddagger	ΔS^\ddagger , э. е.
		ккал/моль	ккал/моль					ккал/моль	ккал/моль		
-Ala (II) *	42	12,8	12,2	-21,6	-Phe (VI)	41	11,5	10,9	-28,4		
-Val (IV)	56	8,1	7,4	-40,1	-Tyr (VII)	104	14,1	13,4	-24,9		
-Leu (V)	40	10,4	9,8	-32,5	-Hys (VIII)	105	11,2	10,5	-32,1		

* Термодинамические параметры определены при pH 1,76.

(IX) — (XIII) ведут себя в кислой среде так же, как и их сложнэфиры аналоги. Однако появление свободной карбоксильной группы несколько влияет на устойчивость фосфоамидной связи (табл. 1).

В случае соединений (II), (IV) — (VIII) свободная карбоксильная группа аминокислот меняет механизм гидролиза уридилил(5'→N)аминокислот. В их кислотных гидролизатах кроме UMP и аминокислот обнаружен уридин и неорганический фосфат [5, 6] (см. рис. 1). По-видимому, гидролиз этих уридилил(5'→N)аминокислот происходит по двум путям (схема 1).

Схема 1



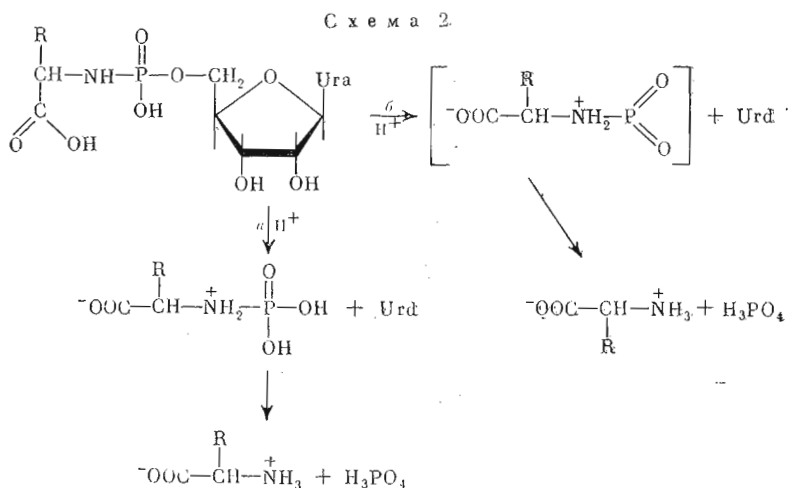
Первый путь такой же, как и в случае соединений с блокированной карбоксильной группой [2—4]. В кислой среде имеет место протонизация фосфоамидного азота, вследствие чего нарушается p_{π} — d_{π} -сопряжение между атомами азота и фосфора. В результате этого создаются благоприят-

ные условия для нуклеофильной атаки атома фосфора молекулой воды. При этом уходящая (аминокислота) и вступающая (вода) группы находятся в аксиальных положениях, так требуют основные правила нуклеофильного замещения у тетраэдрического атома фосфора [8].

Изотопный эффект ($k_{D_2}/k_{H_2O} = 2,54$) в случае тирозинового производного (VII) ($37^\circ C$, 1 ч, pH 1,35) и большие отрицательные значения энтропии активации расщепления уридилил($5' \rightarrow N$) аминокислот до UMP (табл. 2) позволяют предположить, что гидролиз этих соединений до UMP проходит по $S_{N}2(P)$ -механизму.

Второй путь (схема 1) обусловлен свободной α -карбоксильной группой аминокислот, которая оказывает влияние преимущественно в протонированной форме ($pK 1,5-2,5$). Для объяснения участия α -карбоксильной группы аминокислот в расщеплении уридилил($5' \rightarrow N$) аминокислот в кислой среде можно предположить следующие механизмы.

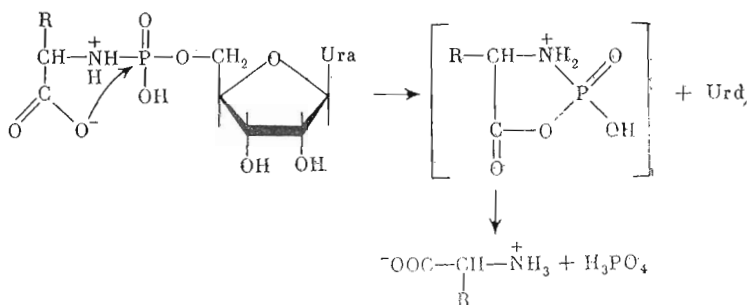
1. Внутримолекулярный общий кислотный катализ:



Путь *a* — бимолекулярная реакция с участием воды на стадии, определяющей скорость реакции. Путь *b* — мономолекулярная реакция с образованием неустойчивого метаfosфата на первой стадии.

2. Внутримолекулярный нуклеофильный катализ

Схема 3



Свободная карбоксильная группа аминокислот атакует фосфор с образованием промежуточного пятичленного цикла, который далее расщепляется до аминокислоты и неорганического фосфора.

Некоторую информацию о механизме гидролиза производных фосфорной кислоты можно получить из термодинамических и кинетических данных гидролиза, а также из изотопного эффекта. Из данных табл. 3 видно, что энтропия активации ΔS^\ddagger расщепления уридилил($5' \rightarrow N$) аминокислот

Таблица 3

Периоды полураспада (рН 1,76; 37° С) и термодинамические данные (рН 2,19) образования уридина при кислотном гидролизе уридилил(5'→N)аминокислот (Urd-5'-P-Aac)

-Aac	$\tau/2$, мин	E_a	ΔH^\ddagger ,	ΔS^\ddagger , э.е.	-Aac	$\tau/2$, мин	E_a	ΔH^\ddagger ,	ΔS^\ddagger , э.е.
		ккал/моль	ккал/моль				ккал/моль	ккал/моль	
-Ala (II) *	27	15,5	14,9	-15,5	-Phe (VI)	20	16,4	15,8	-11,9
-Val (IV)	27	9,1	8,5	-35,9	-Tyr (VII)	102	16,7	16,1	-16,9
-Leu (V)	52	9,7	9,1	-35,4	-Hys (VIII)	67	15,9	15,3	-16,7

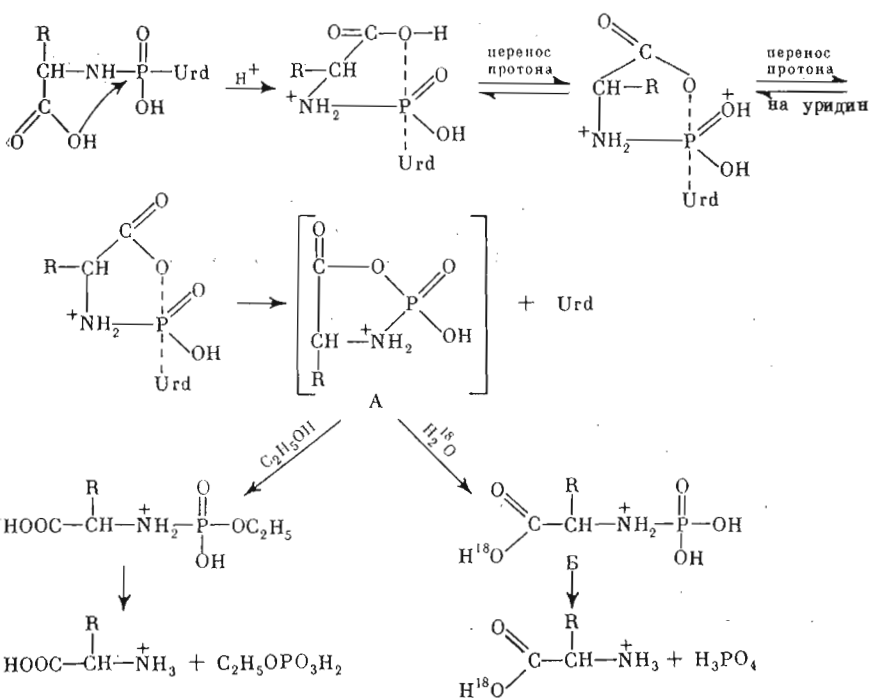
* Термодинамические параметры определены при рН 1,76.

до уридина имеет большие отрицательные значения (12–36 э.е.). Изотопный эффект (k_{D_2O}/k_{H_2O}) в случае гидролиза уридилил(5'→N)-L-фенилаланина до уридина (37° С, 1 ч, рН 1,35) составляет 1,18. Это значит, что если при кислотном гидролизе уридилил(5'→N)аминокислот имеет место внутримолекулярный кислотный катализ с участием свободной карбоксильной группы аминокислоты, то реакция протекает по бимолекулярному механизму (путь a, схема 2). Однако гидролиз уридилиллейцина (V), проведенный в смеси этилового спирта и воды (1 : 1), показал, что в реакционной смеси кроме неорганического фосфора (75%) образуется 25% этилфосфата. Следовательно, во время гидролиза уридилил(5'→N)аминокислот образуется активное промежуточное соединение, которое реагирует как с водой, так и с этиловым спиртом. Учитывая, что ΔS^\ddagger и изотопный эффект противоречат образованию промежуточного метаfosфата, мы отдаляем предпочтение внутримолекулярному нуклеофильному катализу, т. е. образованию промежуточного пятичлененного цикла с фосфоангидридной и фосфамидной связью. Обычно для обнаружения фосфоангидридной связи в промежуточных соединениях используют реакцию с гидроксиламином [9, 10]. В нашем случае этот метод использовать не удалось, так как оказалось, что комплекс UMP и гидроксиламина тоже дает цветную реакцию с $FeCl_3$.

Мы пытались уловить промежуточное соединение с помощью импульсной ^{31}P -ЯМР-спектроскопии. Однако промежуточное соединение чрезвычайно лабильно и в условиях гидролиза не накапливается. Поэтому для доказательства такого промежуточного цикла мы провели гидролиз уридилилфенилаланина (VI) в $H_2^{18}O$ (0,1 н. HCl, 37° С, 1 ч). В выделенном фенилаланине карбоксильная группа имеет 22% меченого кислорода. Наличие метки в неорганическом фосфате не исследовали. Вода в случае циклических фосфоангидридов атакует атом фосфора [9, 11]. Кроме того, известно [12], что некоторые циклические фосфаты претерпевают не только гидролиз, но и обмен фосфорильного кислорода. Также имеет место обмен кислорода между водой и неорганическим фосфатом [13] или его эфирами [11]. Все эти данные могут указывать на то, что ^{18}O имеется и в неорганическом фосфате, который образуется при кислотном гидролизе уридилил(5'→N)аминокислот. Так как обмен кислорода карбоксильной группы фенилаланина не происходит (контрольный опыт) и отсутствует обмен карбоксильного кислорода в случае других органических кислот [11], мы считаем, что влияние карбоксильной группы на механизм гидролиза уридилил(5'→N)аминокислот проявляется через внутримолекулярный нуклеофильный катализ (схема 4).

Вступающая (COOH) и уходящая (уридин) группы занимают аксиальные положения, и образуется переходное состояние с пятичлененным циклом. Из немногих литературных [14–16] и наших данных можно сделать вывод, что реакции, протекающие через пятичлененное циклическое состоя-

Схема 4



ние, приводят в основном к отщеплению от атома фосфора экзоциклической группы (в нашем случае уридинина) при условии, что во время образования переходного состояния и промежуточного пятичлененного циклического фосфоангидрида «А» протон карбоксильной группы переносится на уходящий уридинин. Пятичленные циклы в 10^6 – 10^8 раз лабильнее нециклических аналогов [12], поэтому образовавшийся промежуточный пятичлененный циклофосфоангидрид «А» не накапливается. Вода, во всяком случае частично, атакует карбонильный углерод, а этиловый спирт – атом фосфора промежуточного соединения «А», так как региоспецифичность реакций циклических фосфоангидридов с нуклеофильными реагентами зависит от природы последних [17]. Далее циклический фосфоангидрид «А» в кислой среде расщепляется до N-фосфоаминокислоты «Б», которая гидролизуется до H_3PO_4 и аминокислоты.

Ранее нами было показано [4], что в случае сложных эфиров нуклеотидил ($5' \rightarrow N$) аминокислот влияние радикалов аминокислот на гидролитическую устойчивость фосфоамидной связи проявляется через индукционные и стерические эффекты. В случае внутримолекулярных реакций особое значение имеет ориентация и расположение карбоксильной группы в уридилил ($5' \rightarrow N$) аминокислотах (рис. 4, табл. 3). Но это не является единственным фактором, влияющим на внутримолекулярный катализ.

Значительное влияние карбоксильной группы аминокислот на внутримолекулярный катализ может оказывать и ее способность к гидратации (или сольватации) [18, 19], зависящая, по-видимому, от стерических и индукционных эффектов радикалов аминокислот. Таким образом можно объяснить инертность карбоксильной группы глицина в уридилилглицине. С другой стороны, индукционные эффекты радикалов аминокислот могут непосредственно влиять на нуклеофильность карбоксильной группы аминокислот.

Очевидно, что гидролитическая устойчивость уридилил ($5' \rightarrow N$) аминокислот зависит от действия всех вышеизложенных факторов.

Экспериментальная часть

В работе использовали динатриевую соль уридин-5'-монофосфата, аминокислоты и дипептиды (Reanal, Венгрия), дициклогексилкарбодиимид (Ferak, ФРГ), 99,8% D₂O, 35% DCl и другие реагенты отечественного производства. Синтез сложных эфиров аминокислот и дипептидов [20], сложных эфиров уридилил(5'→N) аминокислот и дипептидов [7], этилового эфира уридилил(5'→N)-DL-аланил-DL-лейцил-DL-аланил-DL-валина [3] осуществляли по описанным методикам. Омыление сложных эфиров уридилил(5'→N) аминокислот и пептидов проводили по работе [3]. Гидролитическую устойчивость соединений исследовали по методикам [3, 4], константы скорости гидролиза параллельных реакций вычисляли по [21]. Термодинамические характеристики гидролиза уридилил(5'→N) аминокислот рассчитывали по формулам работы [4].

Выделение синтезированных соединений проводили с помощью препаративной хроматографии на бумаге марки FN-1 (быстрая, ГДР). Для аналитических целей применяли ТСХ на пластинках «Silufol» (ЧССР). Использовали следующие системы растворителей: этиловый спирт – 1 М уксуснокислый аммоний, 7 : 3 (А); изопропиловый спирт – конц. амиак – вода, 7 : 1 : 2 (Б). Электрофорез на бумаге проводили в 0,05 М триэтиламмонийбикарбонатном буфере, pH 7,5. Использовали прибор фирмы «Labor» (Венгрия). Структуру уридилил(5'→N) аминокислот (пептидов) и их сложных эфиров доказывали определением отношения основание – фосфор – аминокислота после полного кислотного гидролиза (6 н. HCl, 100° С, 24 ч) [2–4]. УФ-спектры регистрировали с помощью спектрофотометра СФ-16. Спектры ³¹P-ЯМР записывали на спектрометре НХ-90 с фурье-преобразованием на ЭВМ В-NC 12 (Bruker-Physik AG, ФРГ) на частоте 36,43 МГц.

Масс-спектры записывали на приборе AEIMS (Англия) при энергии ионизирующих электронов 70 эВ (температура источника 200° С, система прямого ввода, температура ввода 160° С). В работе использовали воду, на 83% обогащенную кислородом ¹⁸O.

Гидролиз уридилил(5'→N)-L-фенилаланина (VI) в D₂O. Раствор 3 мкмоль соединения (VI) в 0,5 мл D₂O разливали в пробирки по 0,05 мл и прибавляли по 0,05 мл 0,03 н. DCl * (pD 1,35). Параллельно исследовали гидролитическую устойчивость соединения (VI) в 0,03 н. HCl (pH 1,35). Гидролиз проводили по методике [4]. Из полученных данных вычисляли константы скорости образования UMP и уридина в D₂O и H₂O: k_{D₂O}(UMP) 4,3·10⁻⁴, k_{D₂O} (уридин) 2,65·10⁻⁴; k_{H₂O}(UMP) 1,69·10⁻⁴; k_{H₂O} (уридин) 2,25·10⁻⁴ с⁻¹.

Гидролиз уридилил(5'→N)-L-фенилаланина (VI) в H₂¹⁸O. К раствору 0,15 ммоль соединения (VI) в 2 мл H₂¹⁸O прибавляли 0,2 мл конц. HCl (концентрация HCl в реакционной смеси 0,1 н.) и инкубировали 1 ч при 37° С. Реакцию гидролиза останавливали охлаждением до 0° С и реакционную смесь препаративно хроматографировали на бумаге в системе растворителей Б. Из хроматограммы вырезали полосы фенилаланина (*R_f*, 0,73) и элюировали водой. Водный раствор упаривали до небольшого объема (~10 мл) и пропускали через колонку дауэкс-50 (H⁺), элюят упаривали, тщательно высушивали азеотропной отгонкой с абс. диоксаном и анализировали методом масс-спектрометрии.

Параллельно проводили контрольный опыт: 7 мг (40 мкмоль) фенилаланина растворяли в 0,5 мл H₂¹⁸O, раствор выдерживали 1 ч при 37° С, препаративно хроматографировали на бумаге в системе растворителей Б. Далее все операции проводили как описано выше.

По дайным масс-спектров вычисляли процентное количество меченого фенилаланина. В фенилаланине, образующемся при гидролизе уридилил-

* Концентрацию [D⁺] определяли с помощью pH-метра. pH раствора рассчитывали по формуле pH=pH+0,4.

фенилаланина в $H_2^{18}O$, содержится 20% ^{18}O . Контрольный эксперимент показал, что обмен кислорода между фенилаланином и $H_2^{18}O$ не происходит.

Исследование продуктов гидролиза уридилил(5'→N)-L-фенилаланина (VI) с помощью ^{31}P -ЯМР-спектроскопии. Раствор 0,15 ммоль соединения (VI) в 2 мл воды помещали в ампулу спектрометра и записывали спектр ^{31}P -ЯМР. Потом в ампулу прибавляли 0,4 мл 2 н. HCl и инкубировали при 40°С. Через 15 и 30 мин записывали спектры реакционной смеси.

Выражаем благодарность В. Ф. Зарытовой (Институт органической химии СО АН СССР) за снятие спектров ^{31}P -ЯМР и И. Б. Мажейка (Институт органического синтеза АН ЛатвССР) за снятие масс-спектров.

ЛИТЕРАТУРА

1. Юодка Е. А. (1980) Биоорганская химия, 6, 1445–1465.
2. Shabarova Z. A. (1970) in: Progress in Nucleic Acid Research and Molecular Biology (Davidson J. N., Cohn W. E., eds), vol. 10, pp. 145–182, Acad. Press, N. Y.
3. Juodka B., Kirveliene V., Ligrancaite L. (1979) J. Carbohydrates, Nucleosides, Nucleotides, 6, 333–357.
4. Juodka B., Sasnauskiene S. (1980) J. Carbohydrates, Nucleosides, Nucleotides, in press.
5. Савельев Е. П., Преображенская Н. Н., Шабарова З. А., Прокофьев М. А. (1967) Химия природных соединений, 2, 121–126.
6. Юодка Е. А., Саснаускене С. И. (1975) Научн. тр. вузов ЛитССР, «Химия и хим. технология», 17, 169–173.
7. Moffatt J. G., Khorana H. G. (1961) J. Amer. Chem. Soc., 83, 649–658.
8. Emsley J., Hall D. (1976) The Chemistry of Phosphorus, pp. 308–336, Harper Row, Publishers.
9. Schray K. J., Benkovic S. J. (1971) J. Amer. Chem. Soc., 93, 2522–2529.
10. Bender M. L., Lawbor J. M. (1963) J. Amer. Chem. Soc., 85, 3040–3017.
11. Blackburn G. M., Brown M. J. (1969) J. Amer. Chem. Soc., 91, 525–526.
12. Westheimer F. H. (1968) Accounts Chem. Rev., 1, 70–78.
13. Bunten C. A. (1970) Accounts Chem. Rev., 3, 257–265.
14. Кирби А., Уоррен С. (1971) Органическая химия фосфора, с. 350–380, «Мир», М.
15. Шабарова З. А., Богданов А. А. (1978) в кн.: Химия нуклеиновых кислот и их компонентов, с. 142–149, изд-во «Химия», М.
16. Лицкинд Г. М., Карпейский М. Я. (1978) Молекулярная биология, 12, 282–289.
17. Jackson A. G., Kenner G. W., Moore G. A., Ramage R., Tharpe W. D. (1976) Tetrahedron Lett., 3627–3630.
18. Джексон В. (1972) Катализ в химии и энзимологии, с. 15–42, «Мир», М.
19. Simons S. S. (1974) J. Amer. Chem. Soc., 96, 6492–6498.
20. Гринштейн Дж., Винцик М. (1965) Химия аминокислот и пептидов, с. 425–427, «Мир», М.
21. Эмануэль Н. М., Кнопре Д. Г. (1969) Курс химической кинетики, с. 200–211, «Высшая школа», М.

Поступила в редакцию
26.V.1980

OLIGONUCLEOTIDES AND NUCLEOTIDE-PEPTIDES. XXXVI. ON THE MECHANISM OF HYDROLYSIS OF URIDYLYL (5'→N) AMINO ACIDS. INTRAMOLECULAR CATALYSIS INVOLVING α -CARBOXYL GROUP OF AMINO ACIDS

JUODKA B. A., SASNAUSKIENE S. I., KAZLAUSKAITE S. A.,
KIRVELIENE V. A., SHABAROVA Z. A.

Vilnius State University, Vilnius; M. V. Lomonosov State
University, Moscow

The hydrolysis of uridylyl(5'→N)amino acid esters in acidic medium leads to the formation of uridine 5'-phosphate and amino acid esters. Among the hydrolysis products for analogs with a free α -carboxyl group, in addition to a nucleotide and an amino acid, a nucleoside and an inorganic phosphate were found. A study of the thermodynamics of the cleavage reaction, the isotope effect, carrying out hydrolysis in an alcohol-water mixture as well as in $H_2^{18}O$, allowed to ascertain that intramolecular nucleophilic catalysis involving the amino acid α -carboxyl group takes place in the hydrolysis of uridylyl (5'→N)amino acids in acidic medium. The nature of the amino acid side chains was shown to influence the efficacy of this catalysis.